

III-117 関東ロームのコンシステンシー限界に関する二三の考察(その2)

中央大学理工学部 正員 久野悟郎
木更津工業高専 正員。飯竹重夫

別報(第5回土質工学研究発表会エ-12)では、関東ロームのコンシステンシー限界についてその特異な性質の原因として返しより土粒子構造の破壊と、土粒子構造内あるいはその近傍に拘束されていて特異な水分(拘束水分)の作用によることを認めた。本報告においてはこれに引続いて、LL試験過程における試料を繰返して使用する方法(以後繰返し法とよぶ)と打撃回数測定とともに新しい試料を使用する方法(以後非繰返し法とよぶ)と比較し、さらにこの両試験過程に沿う含有水分と数種の遠心力で脱水した場合の水分の挙動について考察を加えた。また前回報告(第24回年次学術講演会ア-70)において述べた、脱水曲線(遠心加速度 ϕ と遠心脱水後の残留水分 w_f)との関係(詳細は前回報告参照)とPL値との関連についても考察した。

(1) LL試験過程における含有水分の挙動

a) 試験方法の異なる場合の流動曲線の性状; 図-1は別報Kから報告した加水過程法、乾燥過程法、この繰返し試料Kについての結果で、これK今回行った非繰返し法による結果を加えて示す。図中Aは加水過程法、Bは乾燥過程法、Cは非繰返し法、Dはこの繰返し試料Kについての流動曲線で、矢印は実験の進行方向を表している。この図より試験過程中のこの繰返しより土粒子構造の破壊ということを考えると、Aの始点とCの始点、Bの始点とCの終点が一致することだけ理解できることである。またAとCの線の差がこの繰返しによって生じた含有水分の変化量に相当するものと考えられる。Bは少しだけよりCの下に位置しており、これはBにおいてもある程度のこの繰返し現象が生じておるものと見なせる。一方Dは他の3方法の場合と比べるとその傾き極端に低く、これは別報Kから土粒子構造の破壊より拘束水分の消失によるものと理解した。

b) 遠心力の程度を変えた場合の脱水される水分の特性; 図-2

(a) (b) は繰返し法と非繰返し法について、遠心力の程度を4段階に変えた場合の落下回数(N)と脱水された水分(w_f)の関係を示したものである。(a) 図では $N \sim w_f$ 線、 $N \sim w_f$ 線ともに直線と見てよいが、これは試験の方法上、試験過程中においてこの繰返し現象が生じておることによるものと考えられる。一方(b) 図では $N \sim w_f$ 線、 $N \sim w_f$ 線とも折れ曲っており、折れ点の N の大小側では遠心力の大小によらず平行となっているが、 N の大きさ側では遠心力の減少するにつれて必ずしも w_f の分配は大きくなるのである。この N の大きさ側での現象はこの繰返しによって拘束水分から逆行する自由水分の脱水する力が増大することによると考えられる。

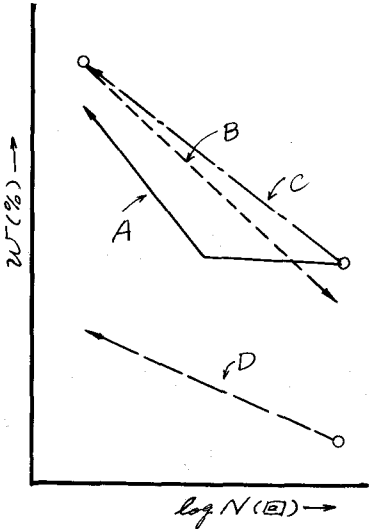
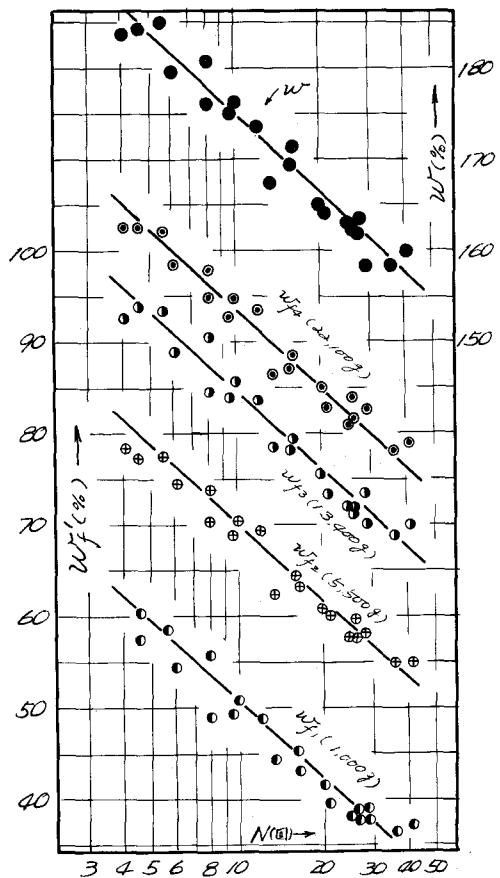
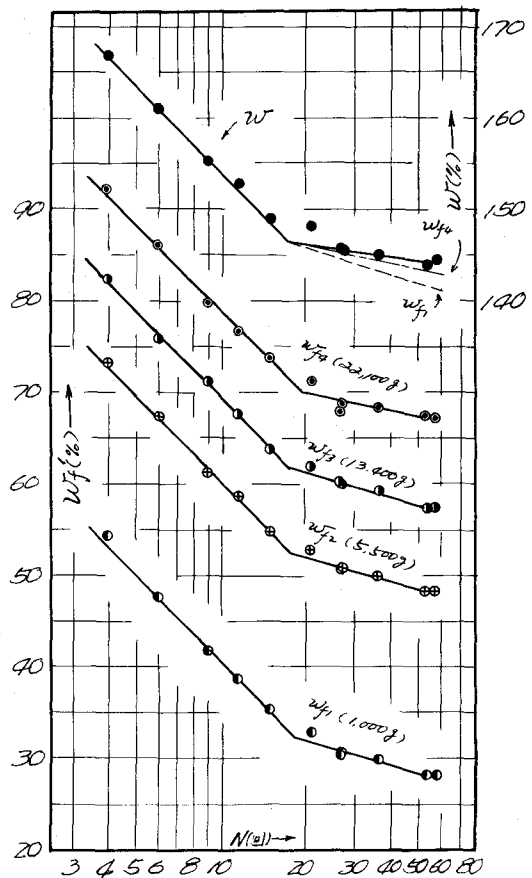


図-1 各試験方法による流動曲線の比較



(a) 非繰返し法
図-2 离心力の程度の異なる場合の落下回数(N)と脱水された水分(W_f')の関係



(2) PL値と脱水曲線との関連について
図-3Kにおいて○EPの曲線は初期含水比(w_0)と脱水曲線の変性点K相当する含水比(w_{cr})との関係を表わし、●EPのPL値を表わす。この図よりPL値は w_0-w_{cr} 曲線の近辺Kでラバつてたり、試験方法のX力=2.5が全く異なっている事Kには両者はかなりの相関性を示してい。このことより、まず1K関東ロームKつては離心脱水により機械的KPL値を求める事が見えていた。そこで w_0-w_{cr} 曲線の前回報告で自由水分子束水分子とく分子とのものであることを考へてみると、PL値もまたそれらの分子を分子得る値であると考えられる。

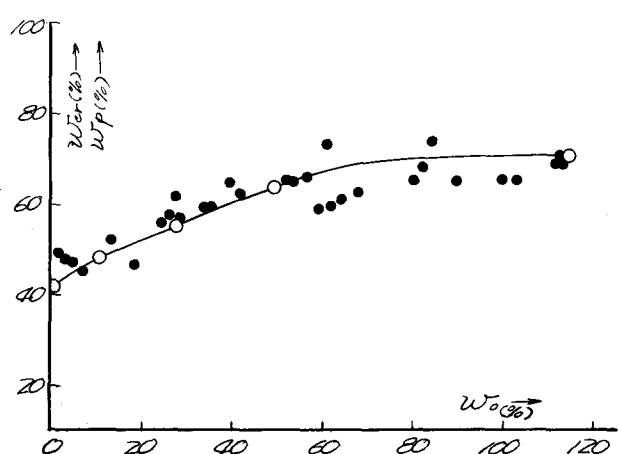


図-3 初期含水比(w_0)とPL値、脱水曲線の変性点の含水比(w_{cr})との関係